

# Analyses génomiques et phylodynamiques du SARS-Cov-2

Baptiste Elie, Samuel Alizon

#### ▶ To cite this version:

Baptiste Elie, Samuel Alizon. Analyses génomiques et phylodynamiques du SARS-Cov-2. 2020. hal-02893568v1

### HAL Id: hal-02893568 https://hal.science/hal-02893568v1

Preprint submitted on 8 Jul 2020 (v1), last revised 12 Nov 2020 (v2)

**HAL** is a multi-disciplinary open access archive for the deposit and dissemination of scientific research documents, whether they are published or not. The documents may come from teaching and research institutions in France or abroad, or from public or private research centers.

L'archive ouverte pluridisciplinaire **HAL**, est destinée au dépôt et à la diffusion de documents scientifiques de niveau recherche, publiés ou non, émanant des établissements d'enseignement et de recherche français ou étrangers, des laboratoires publics ou privés.

# Analyses génomiques et phylodynamiques du SARS-Cov-2

Baptiste Elie<sup>1,2</sup>, Samuel Alizon<sup>1,\*</sup>

#### Résumé

Dans la lignée des épidémies récentes des virus Ebola et Zika, la pandémie de COVID-19 a donné lieu à une avalanche de données génomiques. Celles-ci ont permis de mieux comprendre l'origine de ce virus, de dater son apparition en Chine mais aussi en France et d'analyser la propagation de l'épidémie grâce aux techniques issues du champ émergent qu'est la phylodynamique.

#### 1 Une origine animale

En Décembre 2019, une épidémie de pneumonies d'allure virale d'étiologie inconnue a émergé dans la ville de Wuhan (province de Hubei, Chine) [1]. Le 9 janvier 2020, les autorités sanitaires chinoises et l'Organisation Mondiale de la Santé (OMS) annoncent la découverte d'un nouveau beta-coronavirus, appelé SARS-Cov2, et présenté comme l'agent responsable de ces pneumonies (Covid-19).

Les premières séquences du SARS-Cov2 sont publiées dès le 12 janvier. Les séquences virales les plus proches connues ont 96 % d'identité et proviennent du virus RaTG13, identifié chez une espèce de chauve-souris très répandue dans le sud-est asiatique, du genre Rhinolophe (*Rhinolophus affinis*)[2]. Les virus humains les plus proches de SARS-Cov-2 sont le virus du SARS et du MERS, qui ont été à l'origine d'épidémies très mortelles mais heureusement limitées, en 2003 et 2012 respectivement. On pense que ces deux virus ont comme espèce réservoir les chauve-souris, mais leur propagation à l'homme s'est faite grâce à un hôte intermédiaire, la civette pour le SARS, et le chameau pour le MERS.

En plus de montrer que nous avions affaire à un nouveau virus, l'analyse génome a aussi apporté des informations au niveau de son histoire évolutive. Tout d'abord, il faut souligner que le virus de la chauve-souris RaTG13 n'est probablement pas directement la source du SARS-CoV2, avec 4 % de séquences divergentes : le virus animal le plus proche du SARS de 2002, identifié chez des civettes, n'avait que 0,2 % de divergence [3]. Cela signifie que le virus SARS-CoV2 a divergé des virus de chauve-souris voisins que l'on connaît il y a entre 40 et 70 ans [4]. En particulier, la région de la protéine virale « Spike » (ou S), impliquée dans l'entrée des Coronavirus dans les cellules humaines, présente 5 mutations clés et une insertion qui ne sont pas présentes dans le génome du virus RaTG13 [5]. En revanche, des pangolins illégalement importés dans la province voisine du Guangdong étaient porteurs de Coronavirus également très similaires au SARS-Cov2 (80 à 88 % d'identité) et contenant en particulier ces mutations. Des hypothèses ont donc été avancées quant à la possibilité d'hôtes intermédiaires ou de recombinaisons entre virus. Cependant, la découverte récente d'un coronavirus de chauve-souris présentant, comme le SARS-Cov-2, un site de clivage au sein la protéine S renforce l'hypothèse que les chiroptères sont les réservoirs du virus [6].

<sup>&</sup>lt;sup>1</sup> Laboratoire MIVEGEC (UMR CNRS 5290, IRD, UM), Montpellier, France

<sup>&</sup>lt;sup>2</sup> Département de Biologie, École Normale Supérieure Paris-Saclay, Université Paris-Saclay, Cachan, France

<sup>\*</sup> samuel.alizon@cnrs.fr

Signalons aussi la présence d'un site de clivage polybasique dans S, qui n'a jamais été décrit dans cette lignée de betacoronavirus [5]. La manière dont le clivage de la protéine d'ancrage a lieu est cruciale chez de nombreux virus pour déterminer la spécificité de l'hôte et leur infectivité. Chez les virus de la grippe, ce site de clivage polybasique dans la protéine d'ancrage hémagglutinine (HA) est connu pour évoluer spontanément, notamment dans les élevages industriels de volailles. Il permet une forte augmentation de la virulence du virus, qui peut infecter les voies respiratoires basses. Ces mutations suggèrent une adaptation élevée du virus à l'exploitation de son hôte humain, ce qui est assez cohérent avec la symptomatologie. En effet, l'infection est bien moins virulente que celles causées par le SARS ou le MERS, tout en étant extrêmement contagieuse.

Ces analyses de génomique comparative se situent à un niveau multi-spécifique et permettent d'en savoir plus sur les origines lointaines du virus et son adaptation à l'homme. Un important travail reste à effectuer afin d'identifier et de séquencer des virus circulant dans la faune sauvage et domestique potentiellement plus proches du SARS-CoV2. En parallèle, l'analyse de génomes issus d'infections humaines permet elle d'en savoir plus sur l'épidémie en cours.

## 2 Épidémie à Wuhan

L'intense effort de recherche a permis rapidement de disposer de nombreuses séquences du virus dans la population humaine : fin janvier, plus d'une cinquantaine de séquences étaient publiées. Tout d'abord, ceci a permis de révéler que le virus présentait chez les humains une très faible diversité. Le scénario le plus probable est donc une origine très récente du virus dans la population humaine, avec une introduction unique.

Les coronavirus sont des virus à ARN qui mutent relativement rapidement. L'accumulation régulière de mutations au cours des infections peut être utilisée comme une « horloge moléculaire », permettant de dater des événements épidémiologiques. Une des hypothèses clés est que ces mutations sont « neutres », autrement dit elle ne modifient pas la capacité du virus à se propager dans la population. Grâce aux modèles phylogénétiques, on peut ainsi estimer à quoi ressemblait le plus vraisemblablement le génome des ancêtres communs aux virus circulant dans les populations humaines. Il ne reste plus qu'à compter le nombre de mutations entre les génomes ainsi inférés et les génomes des virus dépistés. Avec environ 2 substitutions par mois qui s'accumulent dans leurs génome, les premières estimations ont cerné l'origine de l'épidémie entre août et décembre 2019 [7], en cohérence avec l'observation des premiers cas de pneumonie de Covid-19 à Wuhan début décembre.

Ces approches de datation sont maintenant classiques mais de nouvelles techniques développées depuis une vingtaine d'année permettent d'extraire plus d'information à partir des séquences génétiques de virus, en particulier en lien avec la dynamique des populations. Ce champ s'appelle d'ailleurs la « phylodynamique » [8–11]. Ainsi, des modèles probabilistes comme celui du coalescent ou celui des processus de naissance et de mort permettent d'utiliser la structure d'un arbre phylogénétique pour estimer si une épidémie croît ou décroît. Pour l'épidémie de SARS-CoV2, qui au début a cru de manière exponentielle dans la province du Hubei, on a pu calculer que l'épidémie doublait en taille environ toutes les semaines (intervalle de confiance à 95 % entre 4,7 et 16,3 jours) [7, 12]. Il est possible aussi d'estimer le fameux  $\mathcal{R}_0$ , c'est-à-dire le nombre moyen de nouvelles infections causées par une personne infectée dans une population entièrement sensible, avec des valeurs dans Wuhan proche de 4 avant le confinement [13]

### 3 La pandémie

En grande partie du fait de la transmission du virus avant l'apparition des symptômes, l'épidémie dans Wuhan s'est propagée à la Chine avant de devenir pandémique, selon les termes de l'OMS le 11 mars 2020. L'analyse des génomes viraux permet de retracer cette expansion grâce aux méthodes de

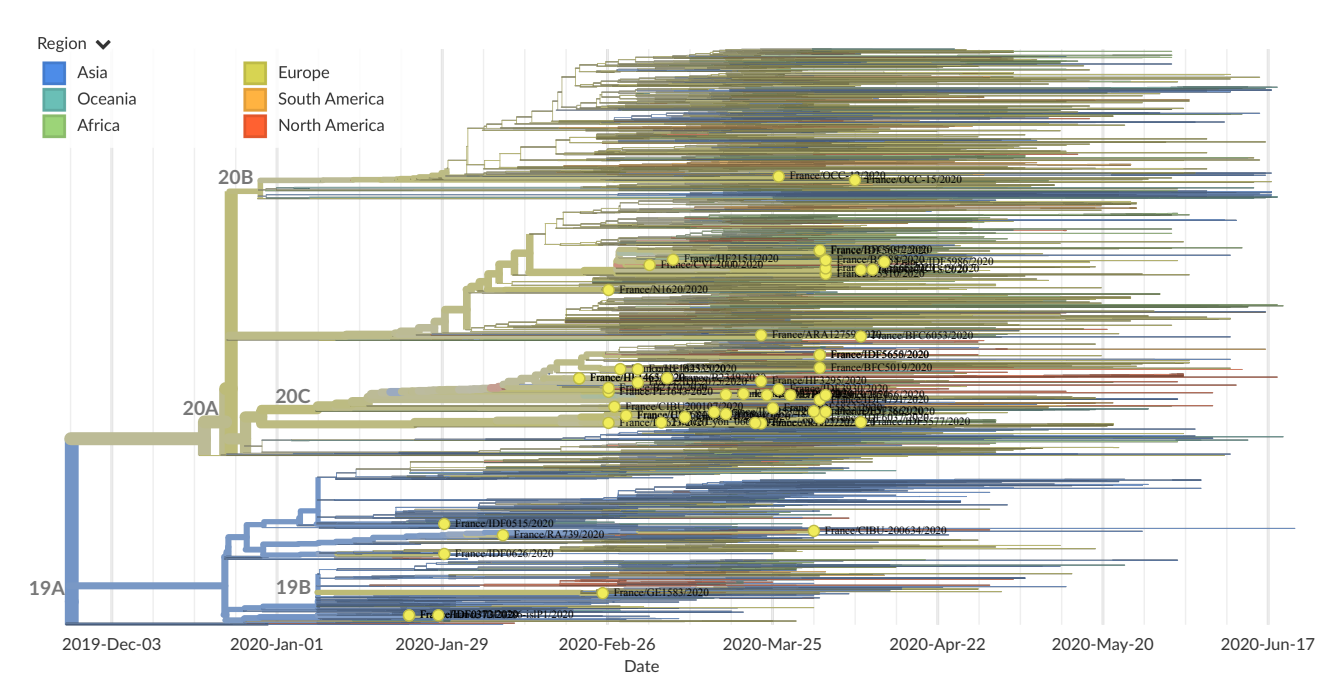


FIGURE 1 – Phylogénie d'infections de la pandémie de COVID-19 obtenu par Nextstrain. Cet arbre a été téléchargé le 4 juillet 2020 [15, 16] et obtenu à parir des données de la base GISAID. Les couleurs indiquent les continents sur lesquels ont eu lieu les infections. 57 feuilles correspondant à des séquences issues d'infections en France sont indiquées par des points jaunes. La majorité des séquences, qui appartiennent a priori à la vague épidémique, appartiennent au clade 20A alors que les séquences correspondant aux premiers cas importés sont dans le clade 19A. Cette image est protégée par une licence CC-BY 4.0 de Creative Commons à nextstrain.org.

phylogéographie [14]. L'idée est qu'en plus d'inférer la séquence génétique la plus vraisemblable des virus ancestraux, on peut aussi inférer leur localisation géographique.

Cette méthode a été popularisée par la plateforme Nextstrain [17], qui permet à tout un chacun de visualiser des phylogénies telles que celle représentée sur la figure 1. D'un point de vue technique, leur approche se décompose en 5 étapes : i) « nettoyer » les données, afin de par exemple retirer les génomes contenant beaucoup d'erreurs de séquençage ; ii) aligner ces séquences, étape clé pour l'inférence phylogénétique ; iii) inférer l'arbre phylogénétique, que l'on peut interpréter comme une sorte d'arbre généalogique reliant les différentes infections dont les virus ont été séquencés ; iv) caler l'arbre dans le temps car à la base sa distance se mesure en nombre de mutations et v) inférer un état géographique pour les nœuds internes de l'arbre, que l'on peut interpréter comme l'endroit où étaient les ancêtres communs aux infections dépistées.

Les trois premières étapes effectuées par Nextstrain sont relativement robustes au vu du nombre de séquences analysées (plusieurs milliers). Toutefois, les deux dernières étapes sont à nuancer et ce d'autant plus que ce sont sur elles que s'appuient beaucoup de conclusions. En effet, la calibration dans le temps pour un arbre aussi grand est délicate et nécessite des hypothèses simplificatrices. Cela signifie que les dates des embranchements internes de l'arbre sont à prendre avec précautions. Mais c'est surtout l'estimation de la position géographique des états ancestraux qui peut se révéler particulièrement trompeuse. Imaginons un scénario improbable où aucune séquence de Chine n'aurait été disponible et où le premier pays touché ait été la France, avant que l'épidémie ne touche les USA (comme elle l'a fait). La conclusion de l'analyse phylogéographique serait alors que l'épidémie provient de France. Ce biais lié à l'échantillonnage se retrouve dans toutes ces analyses. Ainsi, il est plus probable de retrouver dans les branches internes de l'arbre des pays qui ont partagé beaucoup plus de séquences que les autres.

Malgré cela, les analyses de nextstrain ont révélé une structure mondiale de pandémie très cohé-

rente avec les relevés épidémiologiques. Une nomenclature a aussi été proposée afin de décrire au mieux cette structure [18]. D'autres approches phylogéographiques ont aussi pu montrer comment se sont installées les épidémies, avec par exemple des introductions multiples en Caroline du Nord aux États-Unis [19].

### 4 L'épidémie en France

La France a été le premier pays d'Europe à partager des séquences génomiques de SARS-Cov-2. Il faut dire que le pays a connu les premiers cas de COVID-19 dépistés en janvier. Au 4 avril, la base de donnée en ligne GISAID comptait 196 génomes issus de patients COVID-19 diagnostiqués en France. La plupart ont été obtenus par les deux centre nationaux de référence à partir d'échantillons collectés dans différents centre hospitaliers français.

Nos analyses ont permis de montrer plusieurs points. D'une part, la grande majorité des séquences se regroupent dans un clade central (en jaune sur la figure 1). Comme les séquences les plus anciennes, notamment les cas importés détectés en janvier, appartiennent à un clade majoritairement asiatique (en bleu sur la figure 1), l'interprétation la plus parcimonieuse est que ce dernier correspond à la vague épidémique. Les séquences isolées seraient elles associées à des événements d'importation isolés qui n'ont pas conduit à des chaînes de transmission pérennes. À noter que les séquences les plus récentes associées à la vague épidémique ne datent que de fin février, ce qui limite la portée des analyses. À ce jour d'ailleurs, aucun génome issu d'une infection dépistée en France avant fin janvier n'est disponible (et encore, pour fin janvier il s'agit de voyageurs revenant de Chine).

Comme pour l'origine de l'épidémie en Chine, nous avons pu dater cette vague épidémique [20]. L'incertitude est grande du fait du nombre limité de séquences et du peu de diversité génétique du virus. On peut néanmoins la dater entre la mi-janvier et le début février, ce qui est cohérent avec les estimations obtenues à partir des données d'incidence [21]. Il faut cependant tempérer ces résultats. D'une part, plusieurs régions telles que l'Occitanie n'étaient pas représentées. De plus, il se pourrait qu'il y ait eu des introductions multiples du virus en France, auquel cas l'ancêtre commun de la vague épidémique que nous détectons se situerait alors vraisemblablement hors de France.

En plus de dater cette vague épidémique, nous avons aussi pu estimer sa vitesse de propagation [20]. À l'aide de modèles de naissance et de mort, nous avons estimé le nombre de reproduction de l'épidémie  $(\mathcal{R}_t)$  sur trois périodes temporelles : avant le 19 février, du 19 février au 7 mars et du 7 au 24 mars. Ce nombre de reproduction correspond au nombre moyen d'infections engendrées par une personne infectée au cours de son infection [22]. Sur la première période, il est impossible d'estimer la valeur de  $\mathcal{R}_t$  du fait du manque de données. Sur la seconde période, celui-ci est élevé avec une valeur médiane de 2,6, ce qui est cohérent avec les données d'incidence [21, 23]. Enfin, sur la période plus récente, ce nombre tombe à 1,4. Ces résultats sont cohérents avec la mise en place d'un confinement national au 17 mars.

Enfin, un des apports particulièrement intéressant des modèles phylodynamiques est qu'ils permettent d'estimer la durée de la période infectieuse [24]. Ces informations sont impossibles à extraire des seules séries temporelles et nécessitent des suivis de chaînes de transmission sur le terrain afin de mesurer le nombre de jours entre l'apparition des symptômes chez une personne infectante et chez une personne infectée (aussi appelé intervalle sériel). Le résultat de l'analyse des génomes associés à la vague épidémique est une durée de contagiosité médiane de 5,1 jours avec un intervalle de confiance à 95 % entre 2,9 et 7,1 jours. Ceci est particulièrement cohérent avec la valeur estimée dans [25] à l'aide de suivi de chaîne de transmission qui est de 5 jours.

### 5 Perspectives

L'épidémie d'Ebola en Afrique de l'Ouest avait déjà constitué un tournant au niveau de la génomique avec la publication d'une étude phylogénétique très rapidement [26] et la démonstration qu'il était possible de séquencer plusieurs génomes entiers par jour dans un pays ravagé par une crise sanitaire [27]. Avec la pandémie de COVID-19, le partage des données génomiques a été particulièrement impressionnant. Non seulement la séquence de ce nouveau virus était publiée le 12 janvier, moins de deux semaines après la détection de l'épidémie, mais en plus beaucoup d'instituts de recherche ont accepté de partager leurs données grâce à la base de données génomiques de grippe GISAID. Les résultats tels qu'ils sont présentés dans cet article sont directement issus de ce partage.

Le cas de la France illustre que si des améliorations ont été faites, tout reste loin d'être parfait. Ainsi, la couverture du territoire national dans la base de donnée GISAID est imparfaite. Mais surtout, depuis la fin mars, la contribution de la France a stagné passant de plus de 13,5 % des séquences européennes (67 sur 499) le 23 mars à 1,1 % le 23 juin (394 sur 35.162) derrière la Belgique ou l'Espagne et très loin derrière le Royaume-Uni et l'Islande.

Il ne s'agit évidemment pas de séquencer des génomes pour le plaisir. Améliorer la couverture géographique mais surtout temporelle de l'échantillonnage permettrait tout d'abord de mieux répondre à une éventuelle seconde vague. En effet, sans une représentation exhaustive de la diversité génétique en France, il sera difficile de déterminer si les nouveaux cas sont liés à des importations d'autres pays ou au contraire au redémarrage de chaînes de transmission locales. Pour le moment, notre vision phylogénétique de l'épidémie en France est fixée à la fin mars avec en plus des inconnues pour certaines régions. De plus, des données supplémentaires permettraient aussi de mieux analyser la propagation de l'épidémie, à l'heure où les modèles basés sur la détection du nombre de nouveaux cas perdent en puissance avec le reflux de l'épidémie. De plus, ils permettraient d'affiner l'intervalle sériel, c'est-à-dire le nombre de jours séparant deux infections, données toujours inconnues pour l'épidémie en France.

L'évolution et la diversité génomique du SARS-Cov-2 au sein des personnes infectées peut aussi avoir des conséquences cliniques, que ce soit pour des questions de résistance aux traitements ou d'échappement aux vaccins [28]. Les premières analyses semblent détecter une diversité génétique non négligeable dans les populations virales intra-patient [29, 30]. Ceci peut sembler surprenant pour des infections aiguës, mais une des explications pourrait être la co-transmission de particules virales lors de l'infection [30].

Enfin, une dernière raison de surveiller la diversité génomique est que toutes les mutations fixées dans les génomes ne sont pas neutres, comme l'ont illustré les épidémies de virus Chikungunya à la Réunion [31] ou Ebola en Afrique de l'Ouest [32]. Dans les deux cas, une mutation dans le génome du virus a conféré à ce dernier une capacité accrue à exploiter pour le premier le moustique tigre et pour le second l'homme. Le souci est que le virus fixe plusieurs mutations par mois en moyenne par hasard et distinguer des effets adaptatifs est ardu. Dans le cas du SARS-Cov-2, à ce jour une mutation est candidate à un tel scénario mais les démonstrations sont encore limitées.

En conclusion, les virus ne sont pas des être figés. Ils évoluent continuellement et rapidement. Cette évolution les rend particulièrement difficiles à contrôler du fait des mutations adaptatives. Mais elle permet aussi de suivre leur propagation à la trace dans leur génome par le biais de la phylodynamique. D'où l'intérêt à combiner microbiologie, évolution et épidémiologie [33].

#### Remerciements

Nous Gonché Danesh pour des commentaires et le groupe de modélisation de l'équipe évolution théorique et expérimentale (ETE) pour des discussions. Nous remercions aussi tous les laboratoires qui ont partagé des données de séquence génétique via la base de données GISAID, permettant ainsi des analyses phylogénétiques rapides de l'épidémie.

### Encadré: 5 points à retenir

- La manière dont les virus se propage laisse des traces dans leurs génomes,
- la phylodynamie permet de dater des événements d'une épidémie virale et d'estimer la valeur de paramètres clés (nombre de reproduction),
- les progrès technologiques ont conduit à une production et un partage extrêmement rapide des données de séquence virale,
- l'origine de l'épidémie a été datée en Chine entre fin août et début décembre 2019, en France la vague épidémique aurait elle commencé vers la mi-janvier,
- ces résultats sont limités par les biais d'échantillonnage et le peu de différences entre les génomes.

#### Références

- [1] Li Q, Guan X, Wu P, Wang X, Zhou L, Tong Y, et al. Early Transmission Dynamics in Wuhan, China, of Novel Coronavirus–Infected Pneumonia. New England Journal of Medicine. 2020 Jan.
- [2] Coronaviridae Study Group of the ICTV. The species Severe acute respiratory syndrome-related coronavirus: classifying 2019-nCoV and naming it SARS-CoV-2. Nat Microbiol. 2020:1–9.
- [3] Song HD, Tu CC, Zhang GW, Wang SY, Zheng K, Lei LC, et al. Cross-host evolution of severe acute respiratory syndrome coronavirus in palm civet and human. Proceedings of the National Academy of Sciences. 2005;102(7):2430–2435.
- [4] Boni MF, Lemey P, Jiang X, Lam TTY, Perry B, Castoe T, et al. Evolutionary origins of the SARS-CoV-2 sarbecovirus lineage responsible for the COVID-19 pandemic. bioRxiv. 2020 :2020.03.30.015008.
- [5] Andersen KG, Rambaut A, Lipkin WI, Holmes EC, Garry RF. The proximal origin of SARS-CoV-2. Nat Med. 2020:1–3.
- [6] Zhou H, Chen X, Hu T, Li J, Song H, Liu Y, et al. A Novel Bat Coronavirus Closely Related to SARS-CoV-2 Contains Natural Insertions at the S1/S2 Cleavage Site of the Spike Protein. Current Biology. 2020;30(11):2196–2203.e3.
- [7] Rambaut A. Phylodynamic Analysis | 176 genomes | 6 Mar 2020; 2020. Available from: http://virological.org/t/phylodynamic-analysis-176-genomes-6-mar-2020/356.
- [8] Grenfell BT, Pybus OG, Gog JR, Wood JL, Daly JM, Mumford JA, et al. Unifying the epidemiological and evolutionary dynamics of pathogens. Science. 2004;303(5656):327–32.
- [9] Volz EM, Koelle K, Bedford T. Viral phylodynamics. PLoS Comput Biol. 2013;9(3):e1002947.
- [10] Frost SD, Pybus OG, Gog JR, Viboud C, Bonhoeffer S, Bedford T. Eight challenges in phylodynamic inference. Epidemics. 2015;10:88–92.
- [11] Alizon S, Saulnier E. Phylogénie des infections virales. Virologie. 2017;21(3):119–129.
- [12] Volz E, Baguelin M, Bhatia S, Boonyasiri A, Cori A, Cucunubá Z, et al. Report 5 : Phylogenetic analysis of SARS-CoV-2. 2020 :7.
- [13] Scire J, Vaughan TG, Stadler T. Phylodynamic analyses based on 93 genomes. 2020.
- [14] Lemey P, Rambaut A, Drummond AJ, Suchard MA. Bayesian phylogeography finds its roots. PLoS Comput Biol. 2009;5(9):e1000520.
- [15] Sagulenko P, Puller V, Neher RA. TreeTime: Maximum-likelihood phylodynamic analysis. Virus Evol. 2018;4(1).

- [16] Hadfield J, Megill C, Bell SM, Huddleston J, Potter B, Callender C, et al. Nextstrain: real-time tracking of pathogen evolution. Bioinformatics. 2018;34(23):4121–4123.
- [17] Bell SM, Hodcroft E, Müller N, Wagner C, Hadfield J, Neher R, et al. Genomic analysis of nCoV spread. Situation report 2020-05-15; 2020.
- [18] Rambaut A, Holmes EC, Hill V, O'Toole A, McCrone JT, Ruis C, et al. A dynamic nomenclature proposal for SARS-CoV-2 to assist genomic epidemiology. bioRxiv. 2020 :2020.04.17.046086.
- [19] Deng X, Gu W, Federman S, Plessis Ld, Pybus OG, Faria N, et al. Genomic surveillance reveals multiple introductions of SARS-CoV-2 into Northern California. Science. 2020.
- [20] Danesh G, Elie B, Michalakis Y, Sofonea MT, Bal A, Behillil S, et al. Early phylodynamics analysis of the COVID-19 epidemics in France. medRxiv. 2020:2020.06.03.20119925.
- [21] Sofonea MT, Reyné B, Elie B, Djidjou-Demasse R, Selinger C, Michalakis Y, et al. Epidemiological monitoring and control perspectives: application of a parsimonious modelling framework to the COVID-19 dynamics in France. medRxiv. 2020:2020.05.22.20110593.
- [22] Anderson RM, May RM. Infectious Diseases of Humans. Dynamics and Control. Oxford: Oxford University Press; 1991.
- [23] Salje H, Kiem CT, Lefrancq N, Courtejoie N, Bosetti P, Paireau J, et al. Estimating the burden of SARS-CoV-2 in France. HAL. 2020 :pasteur–02548181.
- [24] Stadler T, Kühnert D, Bonhoeffer S, Drummond AJ. Birth-death skyline plot reveals temporal changes of epidemic spread in HIV and hepatitis C virus (HCV). Proc Natl Acad Sci USA. 2013;110(1):228–33.
- [25] Ferretti L, Wymant C, Kendall M, Zhao L, Nurtay A, Abeler-Dörner L, et al. Quantifying SARS-CoV-2 transmission suggests epidemic control with digital contact tracing. Science. 2020.
- [26] Gire SK, Goba A, Andersen KG, Sealfon RSG, Park DJ, Kanneh L, et al. Genomic surveillance elucidates Ebola virus origin and transmission during the 2014 outbreak. Science. 2014;345(6202):1369–72.
- [27] Quick J, Loman NJ, Duraffour S, Simpson JT, Severi E, Cowley L, et al. Real-time, portable genome sequencing for Ebola surveillance. Nature. 2016;530(7589):228–232.
- [28] Hartfield M, Murall CL, Alizon S. Clinical applications of pathogen phylogenies. Trends Mol Med. 2014;20(7):394–404.
- [29] Shen Z, Xiao Y, Kang L, Ma W, Shi L, Zhang L, et al. Genomic Diversity of Severe Acute Respiratory Syndrome–Coronavirus 2 in Patients With Coronavirus Disease 2019. Clin Infect Dis.
- [30] Lythgoe KA, Hall MD, Ferretti L, Cesare Md, MacIntyre-Cockett G, Trebes A, et al. Shared SARS-CoV-2 diversity suggests localised transmission of minority variants. bioRxiv. 2020 :2020.05.28.118992.
- [31] Schuffenecker I, Iteman I, Michault A, Murri S, Frangeul L, Vaney MC, et al. Genome microevolution of chikungunya viruses causing the Indian Ocean outbreak. PLoS Med. 2006;3(7):e263.
- [32] Urbanowicz RA, McClure CP, Sakuntabhai A, Sall AA, Kobinger G, Müller MA, et al. Human Adaptation of Ebola Virus during the West African Outbreak. Cell. 2016;167(4):1079–1087.e5.
- [33] Alizon S, Méthot PO. Reconciling Pasteur and Darwin to control infectious diseases. PLoS Biol. 2018;16(1):e2003815.